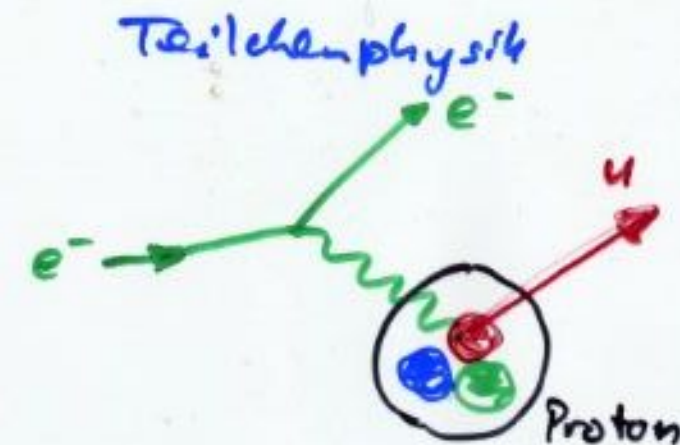
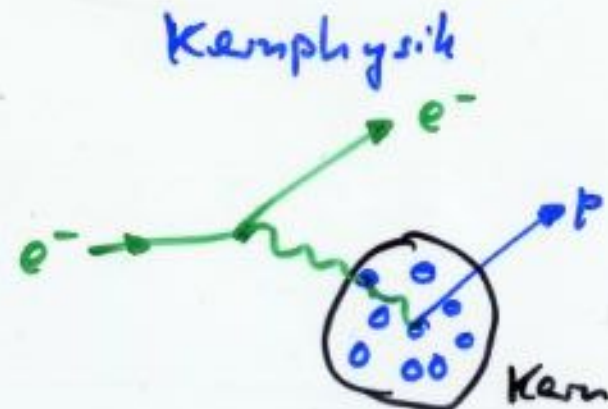
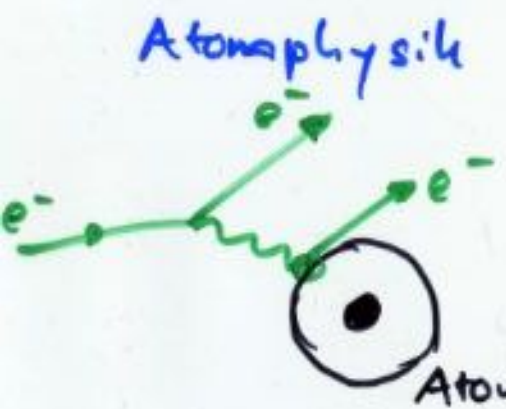


7. Tief inelastische Streuung

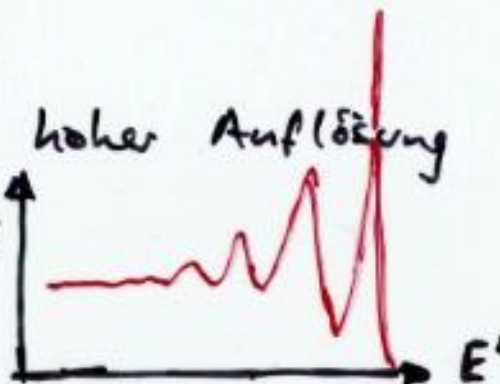


→ ⋆ kleiner, Q^2 größer

7.1. Nukleon resonanzen

$e p \rightarrow$ Streuung mit hoher Auflösung ($< 1 \text{ fm}$)
 $e n \rightarrow$
 $\nu N \rightarrow$

Beispiel: $\frac{d\sigma}{dE'}$



Wirkungsquerschnitt
hat Maxima
⇒ Substruktur!

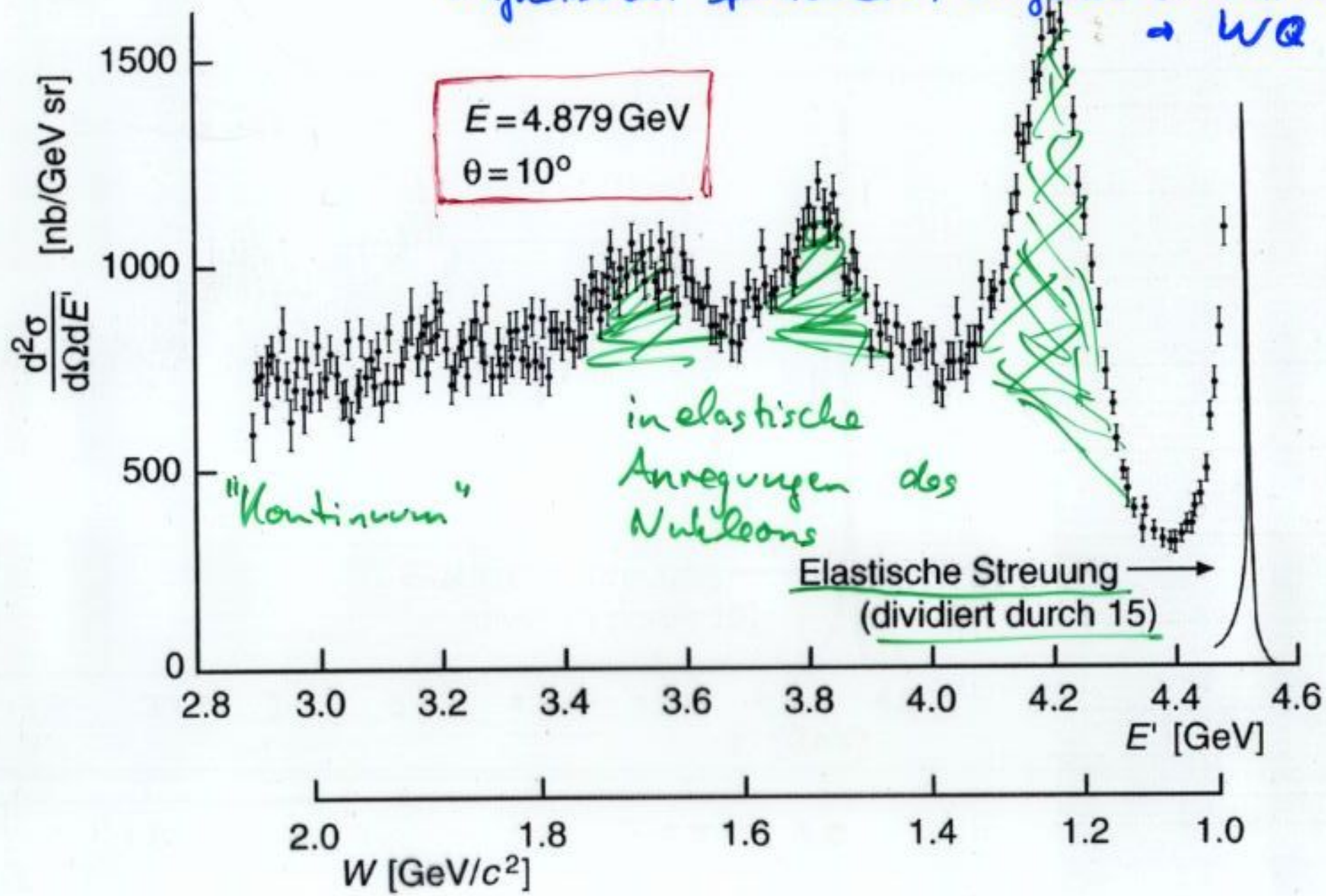
Invariante Masse von angeregten Zuständen:

$$W^2 = |\tilde{p}'|^2 = |\tilde{p} + \tilde{q}|^2 = M^2 + 2 \tilde{p} \tilde{q} + \tilde{q}^2 = M^2 + 2 M v - Q^2$$

Laborsystem

$$\nu = E - E'$$

ep-Streuung : akzeptierte E' in variabel einstellbarem
magnetischen Spektrometer; Ergebnisse zählen, normieren,
 $\Rightarrow WQ$



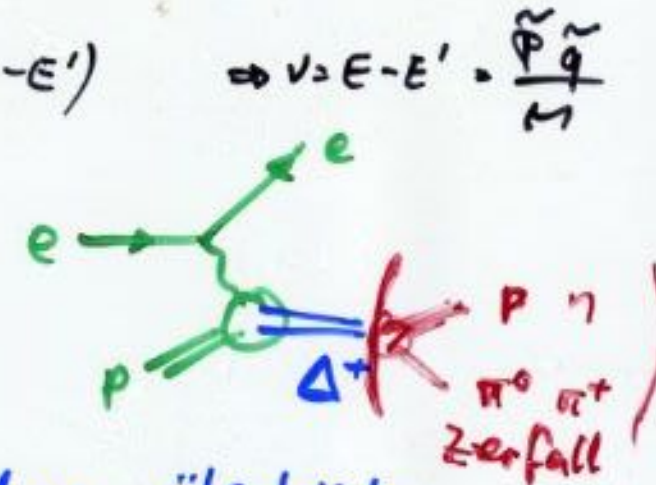
Energieübertrag \checkmark : Lorentz-invariant: $\gamma = E - E' = \frac{\tilde{p} \cdot \tilde{q}}{M}$

Proton im Laborsystem ruhend:

$$\tilde{p} = \begin{pmatrix} M \\ 0 \end{pmatrix}, \quad \tilde{q} = \begin{pmatrix} E - E' \\ \tilde{q} \end{pmatrix} \Rightarrow \tilde{p} \cdot \tilde{q} = M \cdot (E - E') \Rightarrow \gamma = E - E' = \frac{\tilde{p} \cdot \tilde{q}}{M}$$

$$W^2 = M^2 + 2M(E - E') - 4EE' \sin^2 \frac{\theta}{2}$$

$\Rightarrow W$ aus E, θ und E' berechenbar



1. Resonanz: $\Delta(1232)$: $W = 1232 \text{ MeV}$

hier Δ^+ , da $e\bar{p}$ -Streuung keine Ladung überträgt.

Später auch $\Delta^{++}, \Delta^+, \Delta^0, \Delta^-$

\Rightarrow 4 Ladungszustände $4 = 2I+1 \Rightarrow$ Isospin $I = \frac{3}{2}$

Breite von Resonanzen: instrumentell oder physikalische Eigenschaft?

Auflösung in gemessene Größen θ, E, E'

oft Gauß-verteilt

$$\Delta E \cdot \Delta t \approx \hbar$$

Unschärferelation

$$\Gamma \cdot \tau = \hbar$$

L Lebensdauer
Resonanzbreite

$\Delta^{++}: \Gamma \approx 100 \text{ MeV} \quad \tau = 5 \cdot 10^{-24} \text{ s}$

(Breit-Wigner-verteilt)

7.2 Strukturfunktionen

$W \gtrsim 2.5 \text{ GeV}$: keine Resonanzen mehr,
aber viele neue Hadronen
(inklusive Endzustände $e^- X$)

Elastische Streuung: nur 1 freier Parameter

$$W^2 = p'^2 = M^2 + \underbrace{2M\nu - Q^2}_{=0} = M^2$$

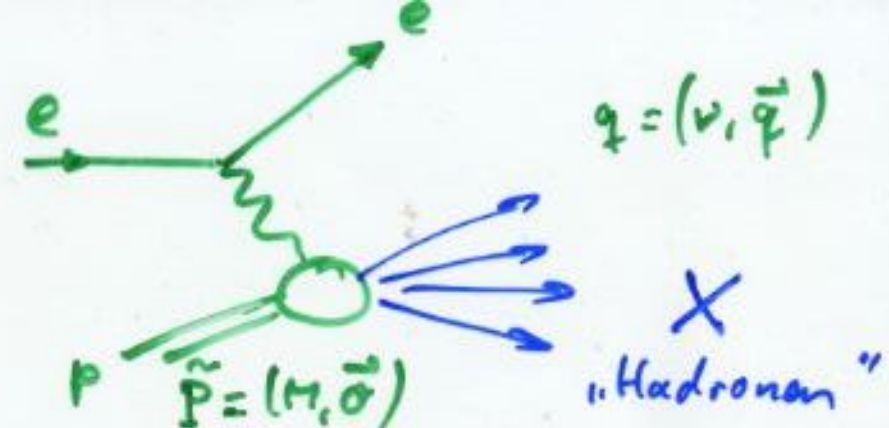
$$\text{also: } 2M\nu - Q^2 = 0$$

Inelastische Streuung: Anregungsenergie!: $W > M$ und $2M\nu - Q^2 > 0$

Dynamik wird wieder mit Formfaktoren beschrieben, die von Strukturfunktionen heißen und von zwei unabhängigen Parametern abhängen (E', θ) oder (Q^2, ν)

$$\begin{array}{ll} W_1(Q^2, \nu) & \text{mag. } WW \\ W_2(Q^2, \nu) & \text{eldit. } WW \end{array}$$

$$\frac{d\sigma}{dE' d\Omega} = \left(\frac{d\sigma}{d\Omega} \right)_{\text{Mott}}^* \cdot \left[W_2(Q^2, \nu) + 2 \cdot W_1(Q^2, \nu) \tan^2 \frac{\theta}{2} \right]$$



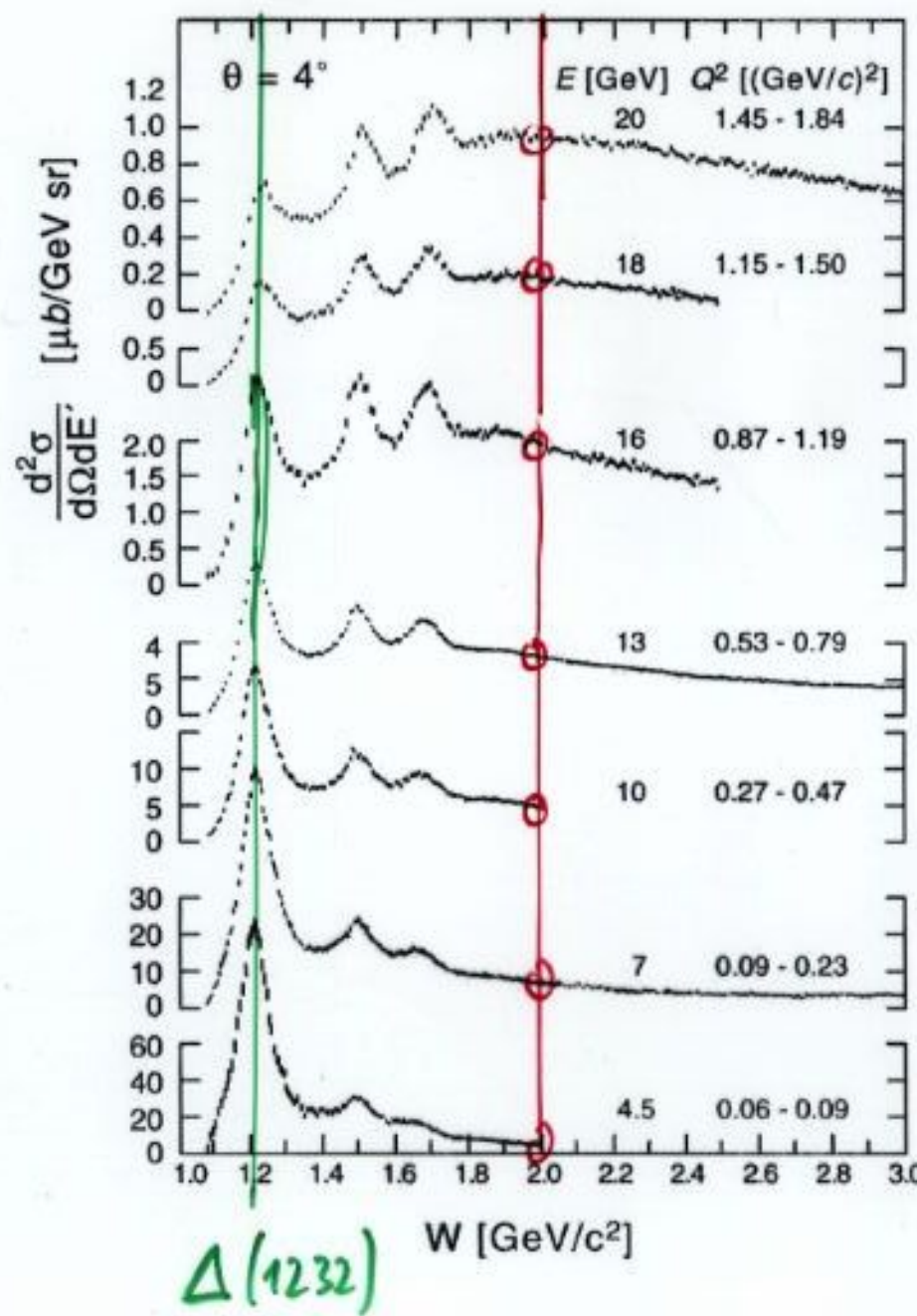
$$q = (\nu, \vec{q})$$

E gegeben: E', θ, Q^2 konstant

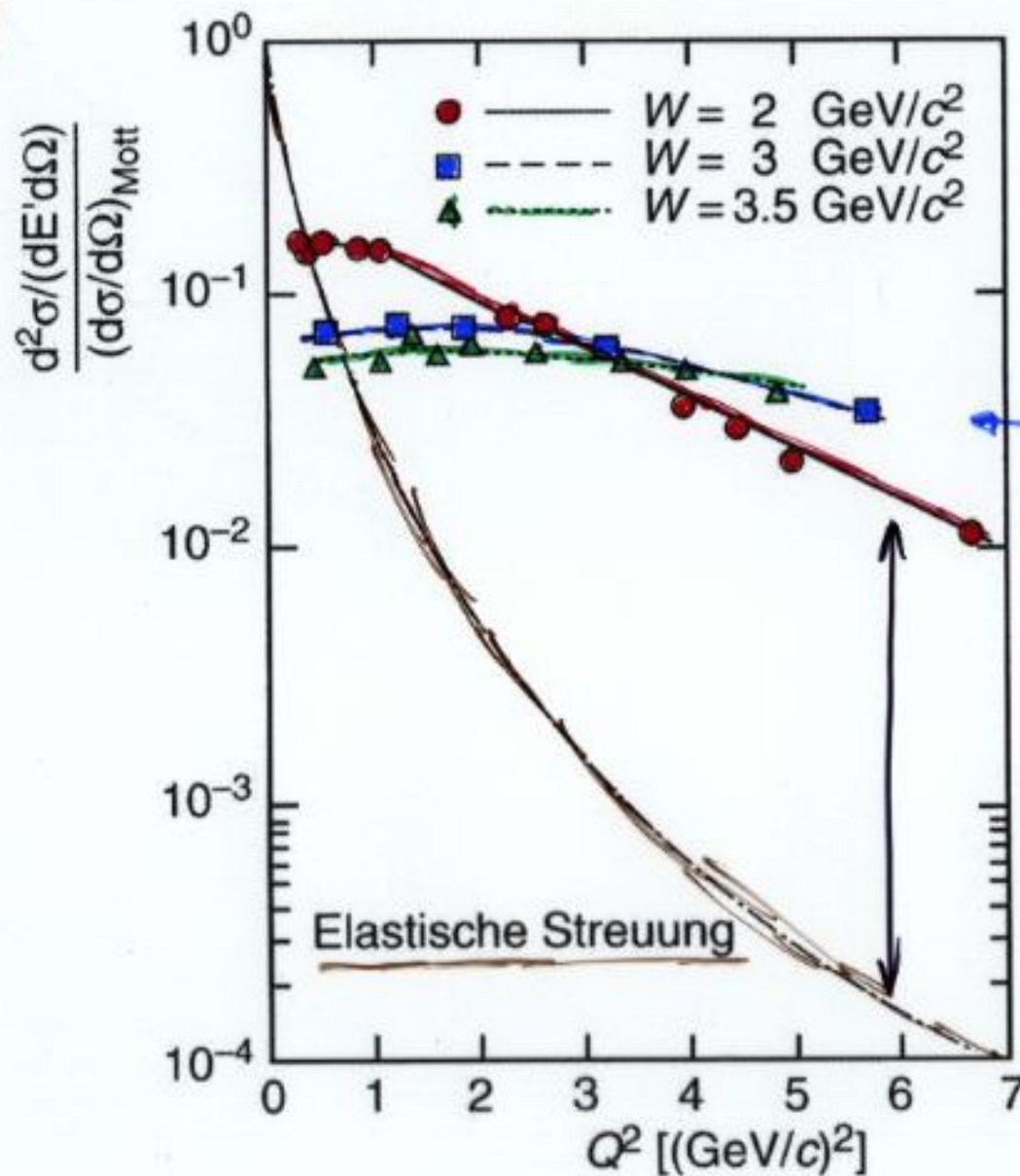
ep-Streuung
SLAC 1975
 $\theta = 4^\circ$, fest

o: Schnitte für
feste W

\downarrow
 $WQ(\Omega^2)$



$$\frac{WQ - \text{exp}}{\text{Mott} - WQ} (Q^2)$$



Je größer W , desto langsamer der Abfall im WQ als Funktion von Q^2
fast konstant

Experimentelle Zählraten
viel ($> 100 !$) größer,
als für elastische
Streuung erwartet:
 $\propto Q^{-8}$ aus
Dipol-Formfaktor

Überraschung: $\sigma/\sigma_{\text{Mott}}$ fällt bei hohem W kaum mit Q^2 ab.

Dipol-Formfaktor hätte $\propto 1/Q^8$ erwarten lassen

Führe Bjorken'sche Skalenvariable x ein: $x = \frac{Q^2}{2Mv} = \frac{Q^2}{2Pq}$

Grenzfall elastische Streuung: $W = M$, $Q^2 = 2Mv \Rightarrow x = 1$

inelastische Streuung: $W > M$ und daher $0 < x < 1$

$\Rightarrow x$ beschreibt dimensionslos die INELASTICITÄT von Streuprozessen.

Verwende dimensionslose Strukturfunktionen F_1 und F_2 :

$$F_1(x, Q^2) = Mc^2 W_1(Q^2, v) \quad \text{und} \quad F_2(x, Q^2) = v W_2(Q^2, v)$$

(magn. WW) (elekt. WW)

\Rightarrow Aus WQ kann man $F_1(Q^2)$, $F_2(Q^2)$ für feste x extrahieren
(lange Messungen!)

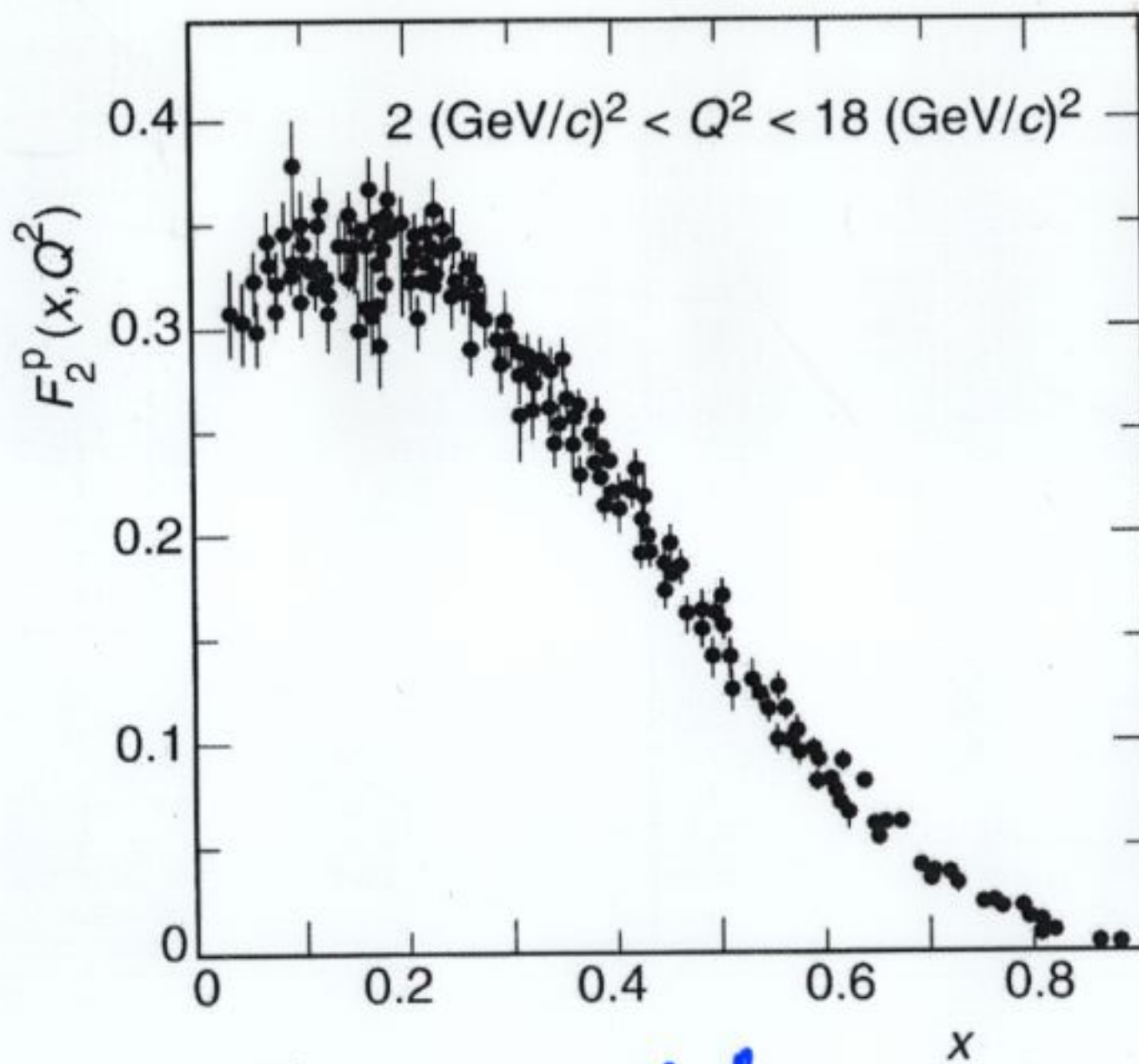
z.B. Graph $F_2^P(x, Q^2)$: \sim unabhängig von Q^2 („Scaling“)

\Rightarrow Strukturfunktion $\hat{=}$ Fouriertransformierte der Ladungsverteilung

$$F_2(Q^2) = \text{konst} \Leftrightarrow \text{Ladungsverteilung} = \delta\text{-Funktion}$$

\Rightarrow Man streut an punktförmigen Konstituenten im Proton!

Strukturfunktion F_2 des Protons, $F_2(x)$ für



x unabhängig von Q^2 !

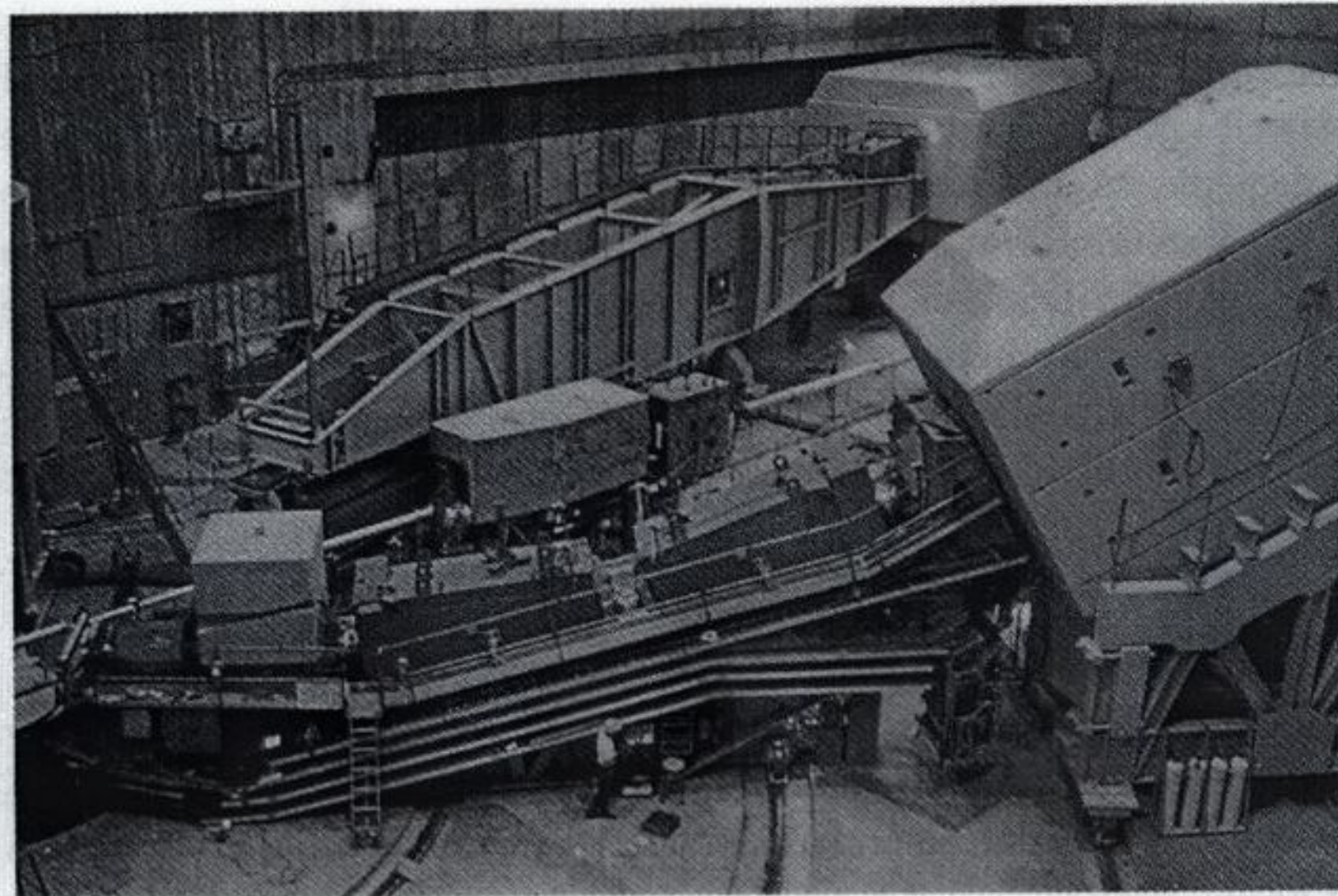


Fig. 32.1. The three spectrometers used in the MIT-SLAC experiments. In the foreground is the 8 GeV spectrometer, while the 20 GeV spectrometer is behind it; at the extreme left, the 1.6 GeV spectrometer is just barely visible.

Callan-Gross-Relation

für elastische
Streuung an
Dirac-Teilchen
mit Masse m

$$\text{Erinnerung: } \left(\frac{d\sigma}{dQ^2} \right)_{\substack{\text{Dirac} \\ \text{Punkt,} \\ \text{Spin } \frac{1}{2}}} = \left(\frac{d\sigma}{dQ^2} \right)_{\text{Mott}} \cdot \left[1 + 2 \frac{Q^2}{4m^2c^2} \tan^2 \frac{\theta}{2} \right]$$

u.d. mit

$$\begin{aligned} \frac{d\sigma^2}{dQ^2 dE'} &= \left(\frac{d\sigma}{dQ^2} \right)_{\text{Mott}}^* \cdot \left[W_2(Q^2, v) + 2W_1(Q^2, v) \tan^2 \frac{\theta}{2} \right] \\ &= \left(\frac{d\sigma}{dQ^2} \right)_{\text{Mott}}^* \cdot \left[\frac{1}{v} F_2(x, Q^2) + \frac{2}{Mc^2} F_1(x, Q^2) \tan^2 \frac{\theta}{2} \right] \end{aligned}$$

} bilden

und vergleiche mit Dirac-Fall:

$$\frac{2W_1}{W_2} = \frac{2F_1/(Mc^2)}{F_2/v} = \frac{2F_1}{F_2} \cdot \frac{v}{Mc^2} = \frac{2Q^2}{4m^2c^2} \xrightarrow{Q^2 = 2mv} m = \frac{Q^2}{2v} = x \cdot M$$

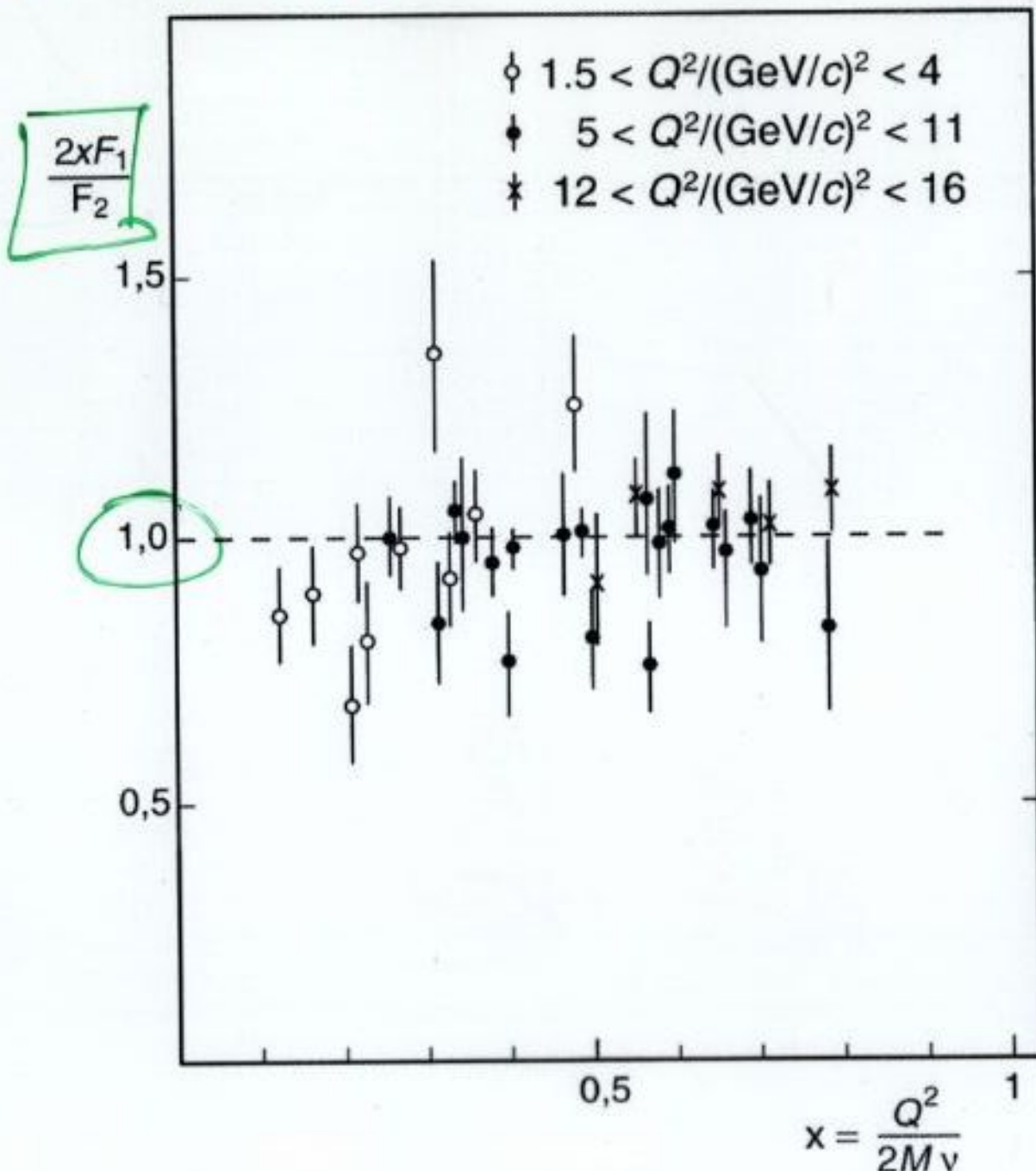
$$F_2 = \frac{4m^2c^2}{Q^2} \cdot \frac{v}{Mc^2} \cdot F_1 = \frac{4Q^2 c^2 v}{Q^2 4v^2 Mc^2} \cdot F_1$$

$$= \frac{Q^2}{Mv} F_1 = 2x F_1$$

Falls man elastisch an punktförmigen Spin $\frac{1}{2}$ -Teilchen streut,
sollte: $F_2(x) = 2x F_1(x)$

Callan-Gross-Beziehung

Experimentelle Überprüfung der Callan-Gross-Relation:



$F_2(x) \approx 2 \times F_1(x)$
für Spin $\frac{1}{2}$ -
Konstituenten
 \Downarrow
 \approx erfüllt!

Die punktförmigen
Konstituenten des
Nukleons haben
Spin $\frac{1}{2}$

7.3

Parton - Modell

⇒ einfache Interpretation
der tief inelastischen ep - Streuung

- wähle geeignetes Bezugssystem
- vernachlässige transversale Impulse und Ruhemassen der Konstituenten
↳ longitudinale Impulse \Rightarrow Struktur des Nukleons (= Partonen)

„Partonen“ \approx frei im Nukleon

heute: geladene Partonen = Quarks
neutrale Partonen = Gluonen

ep - Streuung = inkohärente Überlagerung von elastischen
Elektron - Parton - Wechselwirkungen

[Stoßnäherung, Ww - Zeiten sind kurz, Teilchen im
Endzustand keine Interaktion]

Interpretation im „Breit - System“: $x =$ Anteil des Vierer-
(und Dreier-) Impulses
des Partons am
Gesamtimpuls des Protons

Auflösungsvermögen

$$\hat{x} = \frac{\vec{p}}{|\vec{q}|}$$

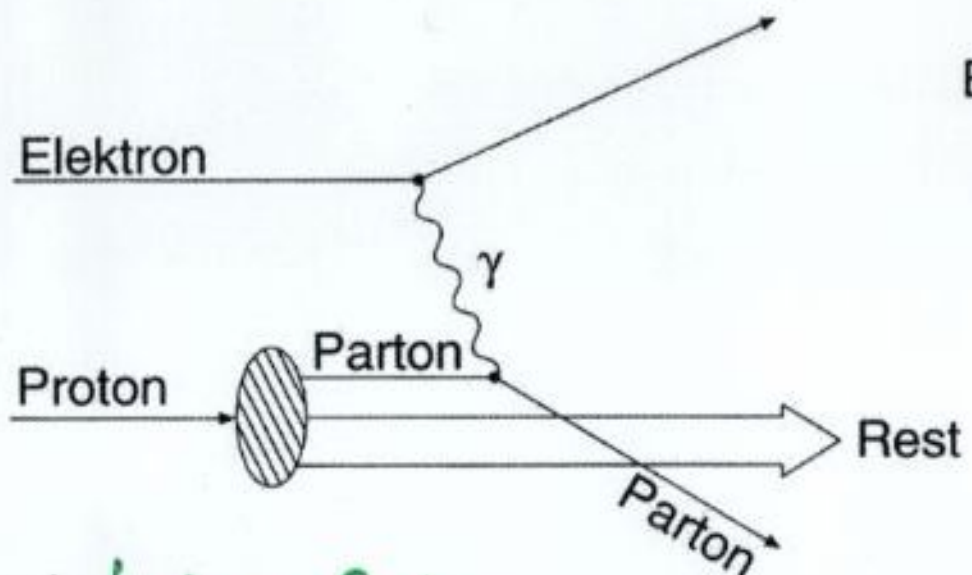
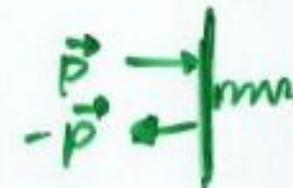
$$\text{im Laborsystem: } x_L = \frac{\vec{p}}{\sqrt{v^2 c^2 + \vec{q}^2}} \approx \frac{pc}{v} = \frac{2 M x v c}{Q^2}$$

$$\text{im Breit - System: } x_B = \frac{\vec{p}}{\sqrt{Q^2}}$$

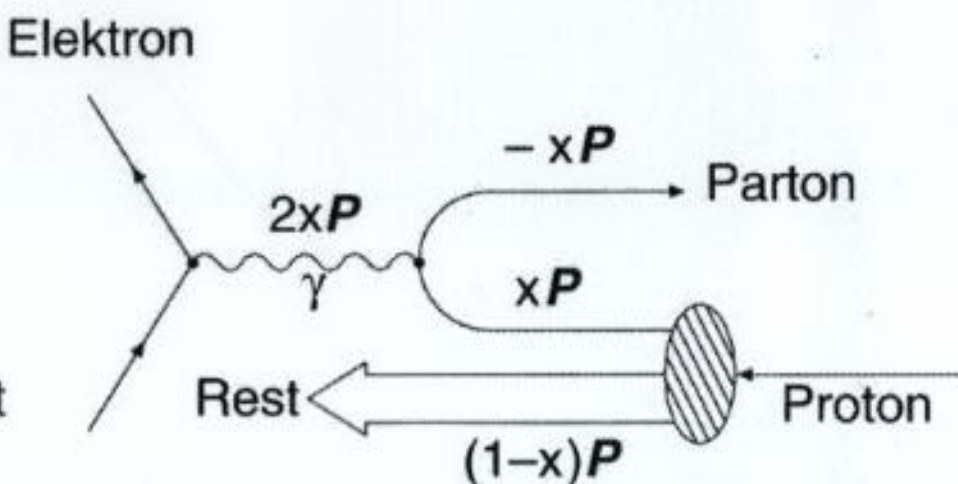
Breit - System = "brick wall frame"

Energieübertrag des virtuellen Photons = 0

Parton wird zurückgestreut wie an fester Wand



a) Labor - System



b) Breit System : virtuelles γ überträgt nur Impuls, keine Energie
 $\tilde{q} = \begin{pmatrix} 0 \\ q \end{pmatrix} = \begin{pmatrix} 0 \\ 2xP \end{pmatrix}$

$$\text{anschaulich: } x = \frac{Q^2}{2Mv} \Rightarrow x =$$

Bruchteil des Viererimpulses des Nukleons, der vom Parton getragen wird.

Strukturfunktionen im Partonmodell

Nukleon sei aus Quarktypen f aufgebaut, elektr. Ladung $z_f \cdot e$

$$WQ \text{ für e.m. Streuung} \propto z_f^2$$

Proton: uud, Neutron: udd

Quantenzahlen durch „Valenzquarks“ gegeben.

Quarks haben Impulsanteile x

Verteilungsfunktion: $q_f(x) = E(\text{Zahl der Quarks mit Flavour } f \text{ im Impulsintervall } [x, x+dx])$

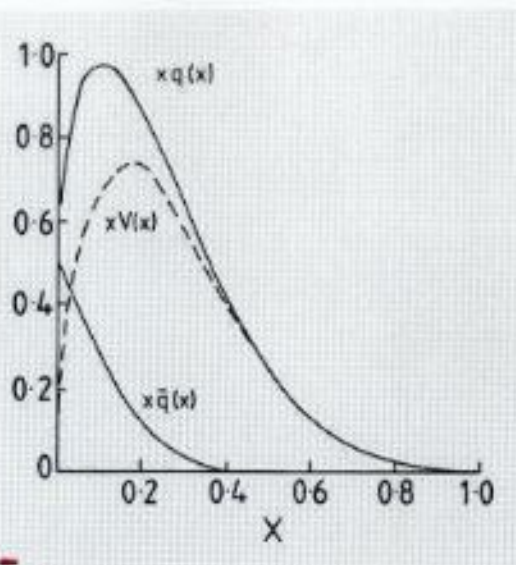
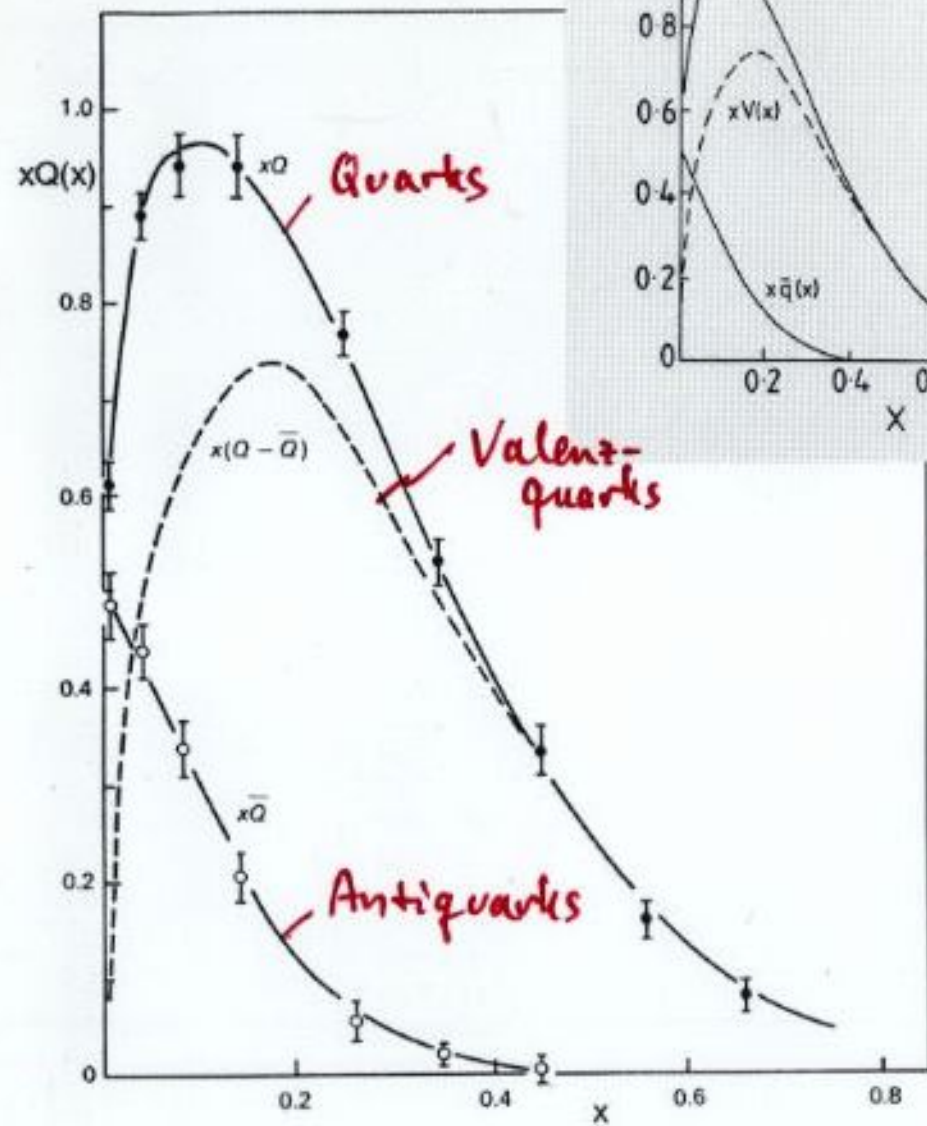
Neben Valenzquarks sind auch „Seequarks“ (virtuelle $q\bar{q}$ -Paare) im Nukleon vorhanden. $\bar{q}_f(x)$: Verteilungsfunktion von f -Antiquarks

Neutralen Konstituenten: Gluonen: $g(x)$

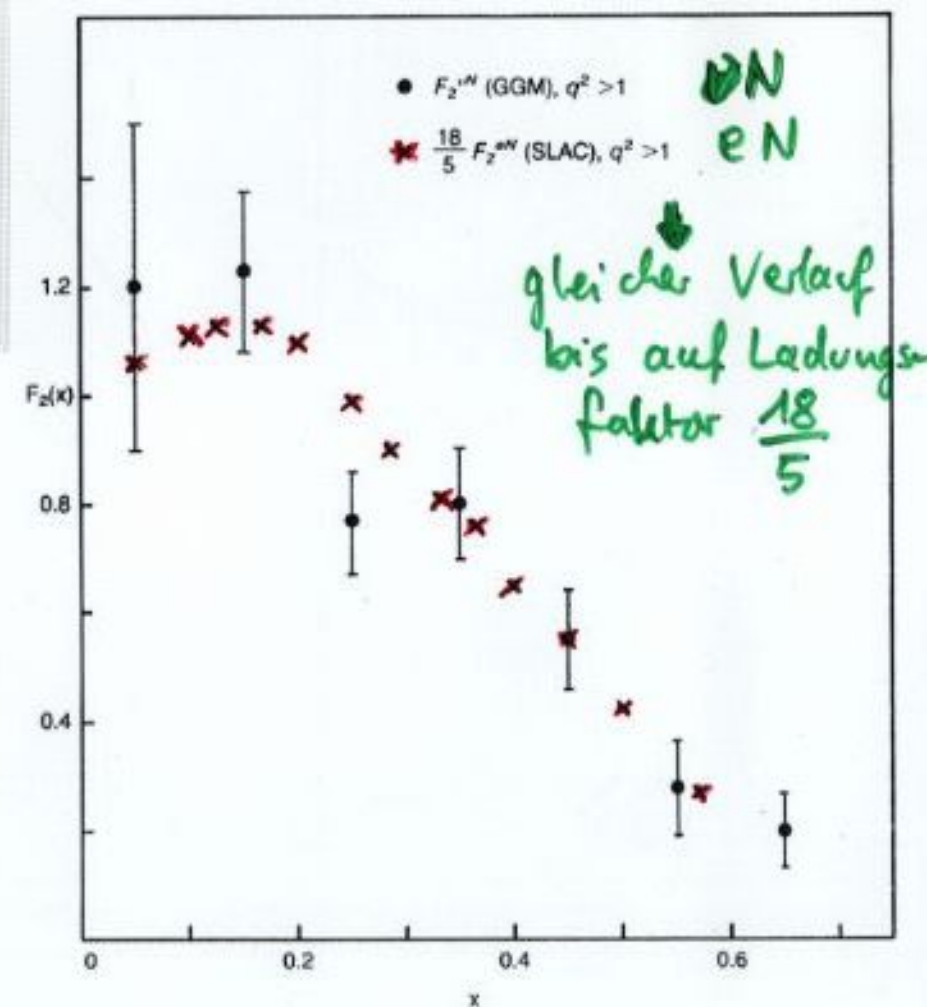
$\Leftrightarrow F_2(x) = \sum \text{der mit } x \text{ und } z_f^2 \text{ gewichteten Impulsverteilungen (pro Nukleon)}$
 $[F_2 \leftarrow W_2 \leftarrow \text{elektrischer Anteil der } WW]$

$$F_2(x) = x \cdot \sum_f z_f^2 \cdot (q_f(x) + \bar{q}_f(x)) \rightarrow F_2^P(x) \rightarrow F_2^D(x) = \frac{F_2^P(x) + F_2^N(x)}{2} = F_2^M(x)$$

Exp. Bestimmung aus Streuexp. an H, D, Kernen → Auswirkungen des Kernverbands
 mit e, μ oder ν (koppelt an schwache Ladung) EMC-Effekt (unverstanden)



Resultate zu Strukturfunktionen aus eN und νN -Streuung

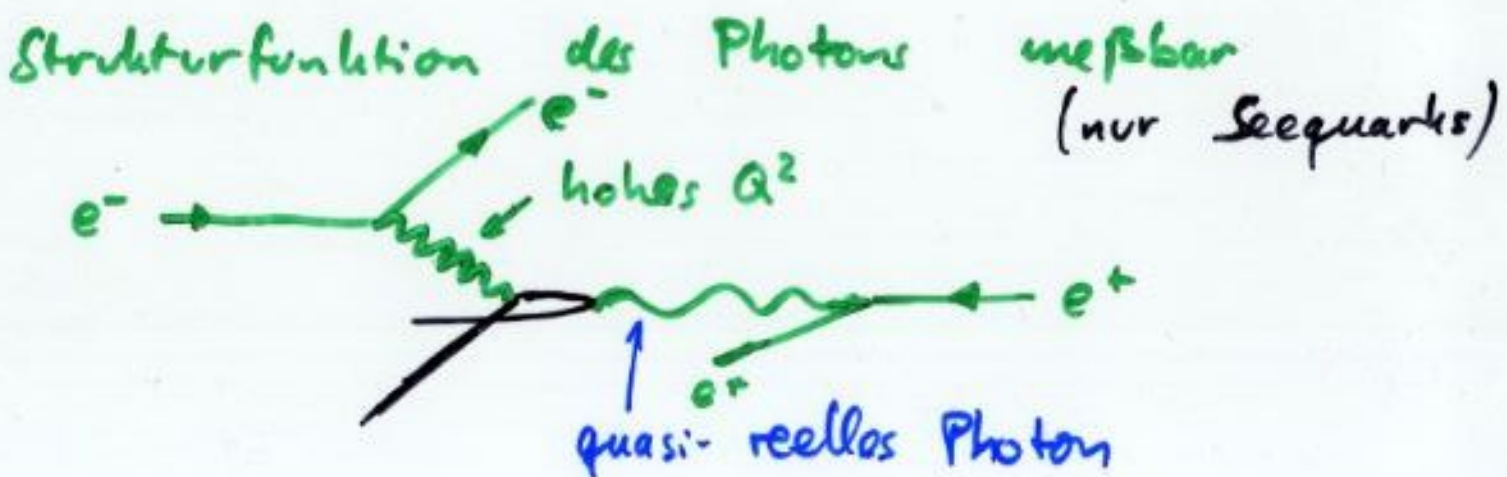


$$\int_0^1 F_2^{vN}(x) dx \approx \frac{18}{5} \int_0^1 F_2^{eN}(x) dx \approx 0.5$$

⇒ ca. 50 % des Nukleonen-Impulses wird von Teilchen getragen, die weder schwach noch elektromagnetisch wechselwirken.

→ Gluonen , $g(x)$

⇒ auch Spin - Strukturfunktionen
Gluon - Strukturfunktionen



EMC - Effekt: $F_2(C\alpha) / F_2(D)$ ist nicht konstant
Ursache und A-Abhangigkeit nicht verstanden

